

القای نورونی سلولهای بنیادی جنینی موش به دنبال هم کشتنی با سومایتهای جنین جوجه

محسن سقا. M.Sc.*، ابراهیم اسفندیاری. Ph.D.*، شهناز رضوی. Ph.D.*، خدیجه کربلایی. M.Sc.**

محمد حسین نصراصفهانی. Ph.D.***، حسین بهاروند. Ph.D.***

* گروه علوم تشریح دانشکده پزشکی دانشگاه علوم پزشکی اصفهان

** بخش جنین شناسی پژوهشکده رویان

*** بخش جنین شناسی و سلولهای بنیادی پژوهشکده رویان

تاریخ وصول: اردیبهشت ماه ۸۶، تاریخ پذیرش: ماه ۸۶

چکیده

هدف: بررسی القای نورونی سلولهای بنیادی جنینی موش به دنبال هم کشتنی با سومایتهای جنین جوجه در محیط آزمایشگاهی مواد و روشهای: این مطالعه به روش تجربی انجام شد. از سلولهای بنیادی جنینی لاین B1 Royan. به روش قطره آویزان اجسام شبه جنینی (EB) تهیه شدند و برای بررسی پتانسیل تولید نورون از آنها مطابق با پروتکل ۲+/۲+ به برخی از آنها اسید ریتینوئیک اضافه شد. سومایتها از جنین جوجه جدا شده و در محلول آلجنیت قرار داده شدند. در نهایت دانه‌های آلجنیت حاوی سومایت به نسبت ۱:۱ و ۱:۴ هم کشتنی داده شدند.

یافته‌ها: میانگین تعداد EB‌های حاوی نورون در گروههای RA، سومایت ۱:۴، سومایت ۱:۱ و کنترل به ترتیب برابر ۳۵/۳، ۸۲/۸ و ۲۱/۱ و ۴/۸ درصد بود. نتایج به دست آمده نشان دادند سومایتهای جنین جوجه به دنبال هم کشتنی با EB توانستند باعث القای نورونی در آنها شوند و این تاثیر سومایتها در گروه ۱:۴ نسبت به گروه ۱:۱ بیشتر بود. زمان ظهور نورون نیز در گروه RA و سومایتها سریعتر از گروه کنترل بود. سومایتها همچنین توانستند سبب ظهور ساختارهای رزتی در EB‌ها شوند که با جداسازی و کشت مجدد، رزت‌ها توانستند نورون تولید نمایند. در نهایت، ظهور فنوتیپ نورونی و سلولهای پیش ساز آنها در گروههای سومایت و RA با روش ایمونوپرتوشیمی مورد تائید قرار گرفت.

نتیجه گیری: سومایتهای جنین جوجه قادرند در محیط آزمایشگاهی باعث تولید نورون از EB شوند و می‌توانند تشکیل ساختارهای رزتی را در آنها القا نمایند.

کلید واژه‌ها: القای نورونی، سلولهای بنیادی جنینی، هم کشتنی، سومایتهای جنین جوجه

آدرس مکاتبه: تهران، پژوهشکده رویان ، گروه جنین شناسی و سلولهای بنیادی، صندوق

پستی ۱۹۳۹۵-۴۴۴

Email: mh_nasr@med.mui.ac.ir

Email: Baharvand50@yahoo.com

مقدمه

و Wnt و نیز FGF و RA از جمله روش‌های تولید نورون از سلولهای بنیادی جنینی هستند [۹ و ۱۰]. یکی از مهمترین روش تولید نورون از این سلولها هم کشتی^۸ آنها با سلولها یا بافت‌های خاصی مثل سلولهای استرومایی مشتق از ناحیه آئورت - گناد - مزونفروس جنینی [۱۱]، SDIA^۹ [۱۲] و [۱۳] و نیز محیط فراهم شده^{۱۰} از عقده ریشه پشتی نخاع جنین جوجه [۱۴] و آستروروست [۱۵] است.

سومایتهای جنینی توده‌هایی از سلولهای مزودرم پاراگزیال هستند که در مجاورت لوله عصبی قرار دارند. آنها یکی از منابع تولید RA در بدن جنین هستند و فاکتورهای دیگری را نیز تولید و ترشح می‌کنند که تمایز نورونی را در نورواپیتیلیوم از سلولهای پیش ساز عصبی نورواپیتیلیوم می‌شوند [۱۶ و ۱۷]. سلولهای نورواپیتیلیال صفحه عصبی در ابتدا ماهیت سری (مغز قدامی) دارند. تحت تاثیر عوامل ترشحی سومایت در جنین جوجه این سلولها ماهیت دمی (مغزهای میانی، خلفی و نخاع) پیدا می‌کنند. سومایتهای جنینی همچنین با رها ساختن رتینوئیدها و عوامل ترشحی دیگر هویت نورونهای حرکتی را در مناطق مختلف نخاع تعیین می‌کنند [۱۸]. از طرف دیگر در جنین دوزیستان آنها باعث فعال کردن القای کننده‌های عصبی نیز می‌شوند [۱۹] بنابراین با توجه به نقش القایی سومایت در تمایز عصبی در این مطالعه آثار القایی سومایتهای جنین جوجه را بر سلولهای بنیادی جنینی بررسی شد تا مشخص شود که آیا سومایتها می‌توانند علاوه بر تمایز عصبی در بدن جنین در محیط آزمایشگاهی نیز باعث القای نورونی سلولهای بنیادی جنینی شوند؟ بنابراین برای بررسی آثار القایی سومایت از هم کشتی آنها با اجسام شبه جنینی حاصل از سلولهای بنیادی جنینی استفاده شد.

8 . Co-culture

9 . Stromal cell derived inducing activity

10. Conditioned medium

سلولهای بنیادی جنینی^۱ سلولهای پرتوانی^۲ هستند که از جنین قبل از لانه گزینی به دست می‌آیند [۱ و ۲] این سلولها واجد دو ویژگی بسیار مهم هستند؛ اول اینکه توان نوسازی^۳ بسیار بالایی دارند و دوم اینکه سلولهای تمایز نیافته ای هستند که توانایی تمایز به لایه‌های زایای جنینی یعنی اکتودرم، مزودرم و آندودرم را دارند [۳].

سلولهای بنیادی جنینی با ایجاد ساختارهای سه بعدی و کروی شکلی بنام اجسام شبه جنینی^۴ در اغلب موارد مدل آزمایشگاهی مناسبی برای بررسی ابعاد مختلف مراحل اولیه تکامل جنینی پستانداران محسوب می‌شوند و ابزار توانمندی را فراهم می‌سازند که می‌توان با استفاده از آنها به مطالعه حوادث مختلف تکوین جنینی و فرآیندهای القا و تخصصی شدن^۵ سلولها و بافت‌های مختلف بدن در مراحل اولیه تکوینشان پرداخت [۴]. پدیده نوروزن و ظهور سلولهای عصبی و مکانیسمهایی که در این پدیده دخالت دارند نمونه آشکاری از این فرآیند القاء و تخصصی شدن است؛ چرا که تولید و تخصص یافتنگی سلول عصبی یک فرآیند چند مرحله‌ای است که اولین مرحله آن القای عصبی اکتودرم جنینی است [۵].

امروزه روش‌های مختلفی وجود دارند که می‌توان با استفاده از آنها به تولید نورون از سلولهای بنیادی جنینی پرداخت. تیمار این سلولها با اسید رتینوئیک (RA) [۶]، روش انتخاب دودمان به واسطه فاکتورهای رشد^۷ [۷]، روش حذف سرم^۸ [۸] و نیز استفاده ترکیبی از برخی از فاکتورهای رشد مانند BMP2، Shh

1 . Embryonic stem cells (ES Cells)

2 . Pluripotential cells

3. Self-renewal

4 . Embryoid bodies (EBs)

5. Specification

6. Growth factor – mediated lineage selection

7. Serum - free medium

اکتودرمی، مزودرمی و آندودرمی از هم و جداسازی راحت تر سومایتها، جنینها به مدت ۵ دقیقه در ۴ ml آنزیم Dispase با غلظت ۱mg/ml قرار داده شدند و پس از خشی شدن اثر آنزیم توسط FCS L15: سومایتها در زیر استرئومیکروسکوپ به کمک سوزنهای انسولینی از جنینهای جوجه جدا شدند.

تهیه دانه‌های آلجينیت^۳ حاوی سومایت

چنانچه سومایتها در مجاورت EB‌ها قرار بگیرند تمایل دارند به آنها متصل شوند. به همین دلیل برای جلوگیری از ادغام آنها، سومایتها در داخل محلول آلجينیت قرار داده شدند. برای انجام این عمل، مقدار ۱/۲ گرم پودر آلجينیت در ۱۰۰ میلی لیتر محلول ۰/۱۵ مولار NaCl حل شد تا محلول آلجينیت ۱/۲ درصدیه دست آید. پس از دو بار شستشوی سومایتها در PBS فاقد کلسیم و منیزیم، قطرات ۱۵ - ۲۰ μL محلول آلجينیت حاوی سومایت (دانه‌های آلجينیت) به مدت ۱۰ دقیقه در محلول ۱۰۲ میلی مولار CaCl₂ قرار داده شدند. این دانه‌ها پس از ۲ بار شستشو در محلول ۰/۱۵ مولار NaCl به دو گروه تقسیم شدند؛ گروهی که نسبت سومایت به EB بود (گروه سومایت ۱:۱) و گروهی که نسبت سومایت به EB ۴:۱ بود (گروه سومایت ۱:۴). در یک گروه نیز دانه‌های آلجينیت فاقد سومایت تهیه شد. در نهایت دانه‌های آلجينیت هر سه گروه برای هم کشتی با EB به ظروف حاوی محیط کشت سوسپانسیون انتقال داده شدند و به مدت ۴ روز در مجاورت با EB‌ها در شرایط ۳۷ درجه سانتی گراد و ۶CO₂ در صندگهداری شدند (مرحله سوسپانسیون).

گسترش و تمایز EB

پس از ۴ روز هم کشتی EB‌ها با سومایتها و دانه‌های آلجينیت

مواد و روشهای

کشت سلولهای بنیادی جنینی

تعداد $10^5 \times 3$ سلول بنیادی جنینی موش دودمان B1 Royan در ۳۷ درجه سانتی گراد و ۶ CO₂ درصد روی فیبروبلاستهای جنینی موشی تیمار شده با مایوتومایسین در محیط K-DMEM ۱۵% ES-FCS، ۱ میلی مولار اسید آمینه غیرضروری، ۰/۱ میلی مولار بتا-مرکاپتواتانول، ۱درصدال - گلوتامین، ۱درصد پنی سیلین و استرپتومایسین و ۱۰۰۰ U/ml عامل مهارکننده لوسمی (LIF)^۱ کشت داده شدند.

تهیه اجسام شبه جنینی (EB)

پس از جدا سازی سلولهای ES، از سلولهای فیبروبلاستی برای تهیه EB به روش قطره آویزان^۲ قطرات ۲۰ μL حاوی ۱۰۰۰ سلول در هر قطره در محیط ۱۰% K-DMEM، ES-FCS ۱۰% ۱ میلی مولار اسید آمینه غیرضروری، ۰/۱ میلی مولار بتا-مرکاپتواتانول، ۱درصدال - گلوتامین، ۱درصدپنی سیلین و استرپتومایسین بدون حضور LIF (محیط کشت سوسپانسیون) برروی درب ظروف کشت باکتریایی به مدت دو روز کشت داده شدند (مرحله تشکیل EB).

جداسازی سومایت از جنین جوجه

تخم مرغهای نطفه دار از مرکز اصلاح نژاد مرغ بومی اصفهان تهیه شدند و در ۳۸ درجه سانتی گراد و رطوبت نسبی ۶۰ درصد نگهداری شدند تا جنینهای جوجه مطابق با جدول تکاملی هامبورگر-هامیلتون [۲۰] به مرحله ۵-۱۰ سومایتی برسند. سپس جنینها از سطح زرده جدا شده و در محیط Leibovitz's قرار داده شدند. برای تفکیک لایه‌های (L15)

1- Leukemia Inhibitory factor

2 - Hanging drop method

3- Alginate beads

و mouse anti-Map-2 monoclonal antibody (Sigma M1406) و mouse anti-Nestin monoclonal antibody (Chemicon MAB353) انکوبه شدند. پس از سه بار شستشو با PBS/Tween20 ، PBS/Tween20 با EB ها به مدت ۲ ساعت در ۳۷ درجه سانتی گراد در معرض secondary fluorescein-conjugated anti-goat IgG (FITC) (Chemicon AP124F) قرار گرفتند. پس از سه بار شستشو با PBS/Tween20 هسته سلولها با PI رنگ شد و مجدداً بعد از سه بار شستشو با PBS/Tween20 به کمک میکروسکوپ Fluroview Olysys Olympus مدل BX51 و با نرم افزار Olysys اعکسهای لازم گرفته شد.

جadasازی و کشت مجدد رزتها

پس از ظهور رزتها در EB، این ساختارها به کمک سوزن انسلولینی و پیپت پاستور از EB ها جدا شده و در محیط کشت تمایزی مجدداً کشت داده شدند. از روش هضم آنزیمی نیز برای کشت مجدد رزتها استفاده شد. در این روش ابتدا به EB های حاوی رزت آنزیم تریپسین به مدت ۳ دقیقه اضافه شد و پس از شستشو با PBS، سوسپانسیون سلولی مجدداً در محیط کشت تمایزی کشت داده شدند.

تجزیه و تحلیل آماری

نتایج به دست آمده در این مطالعه تجربی، پس از تعیین SEM داده ها با استفاده از نرم افزار SPSS نسخه ۱۱/۵ و به کمک آزمون Tukey One-way ANOVA مورد تجزیه و تحلیل قرار گرفت.

یافته ها

القای نورونی اجسام شبه جنینی

برای بررسی القای نورونی EB ها، آن دسته از EB هایی که بیش از ۱۰ درصد نورون تولید کردند به عنوان EB های حاوی نورون در نظر گرفته شدند. این مطالعه نشان داد که تعداد ۴ درصد از EB های گروه کترل به نورون تمایز یافتند

فاقد سومایت، EB ها به ظروف کشت ۲۴ خانه ای پوشش داده شده با ۱/۰ درصد ژلاتین که حاوی $350 \mu\text{L}$ محیط کشت K-DMEM ES-FCS ۵٪ ۰/۱ میلی مولار اسید آمینه غیر ضروری، ۱ درصد پنی سیلین و استرپتو مایسین (محیط کشت تمایزی) در هر خانه بود منتقل شدند تا پس از گسترش تمایز یابند. در گروه کترل نیز تعدادی از EB ها که تحت هم-کشتی با سومایت و دانه های آلجينیت قرار نگرفته بودند پس از ۴ روز سوسپانسیون به این ظروف انتقال داده شدند.

چون اسید رتینوئیک (RA) در غلظتهای بالا (10^{-7}M) نقش موثری در القای نورونی سلولهای بنیادی جنینی دارد [۶ و ۲۱] بنابراین برای بررسی پتانسیل القای نورونی EB ها این گروه به عنوان گروه کترل مثبت در نظر گرفته شد. در این گروه تعدادی از EB ها در مرحله سوسپانسیون به مدت ۴ روز مطابق با پروتکل $2+/-2+/2+$ [۲۱] تحت تاثیر یک میکرومول (10^{-7}M) all-trans RA قرار گرفتند. بر طبق این پروتکل به مدت دو روز و بدون حضور RA، EB ها تشکیل شدند (-۲)، سپس به مدت ۲ روز به آنها RA اضافه شد (۲+) و پس از تعویض محیط کشت مجدداً EB ها به مدت ۲ روز دیگر تحت تاثیر RA قرار گرفتند (۲+). در نهایت القای نورونی EB کلیه گروهها ارزیابی شد.

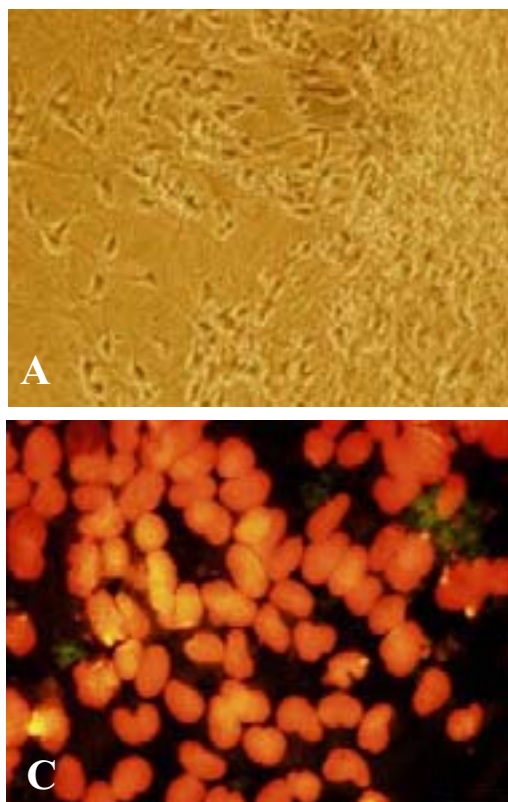
ایمونوستیتوشیمی

EB ها پس از دو بار شستشو با محیط فاقد سرم به مدت ۳۰ دقیقه در پارافرمالدئید ۴ درصد در ۴ درجه سانتی گراد تثبیت شدند. پس از سه بار شستشو با PBS/Tween20 به مدت ۲۵ دقیقه بر آنها Triton X-100 تاثیر داده شد. EB ها در ۳۷ درجه سانتی گراد به مدت ۱ ساعت با ۱۰% normal goat serum با بلوك شده و به صورت overnight در ۴ درجه سانتی گراد با آنتی بادیه ای اولیه ای بر ضد mouse anti- β -tubulin III monoclonal antibody (Sigma T8660)

گسترش EB‌ها بود در حالی که این تمایز در دو گروه سومایت ۱:۱ و ۱:۴ حدود ۸ روز بعد از گسترش EB‌ها مشاهده شد. اگرچه نورونها در گروه‌های سومایت زودتر از گروه کنترل مشاهده شدند ولی اختلاف معنی‌داری بین آنها در زمان ظهور نورون مشاهده نشد. فنوتیپ نورونی در گروه RA سریعتر از سایر گروه‌ها ظاهر شد (0.54 ± 0.05 روز) ($P < 0.01$) (نمودار ۲).

تشخیص بیان آنتی ژنهای سلولهای پیش‌ساز عصبی و نورونها

برای بررسی تمایز سلولهای بنیادی جنینی به سلولهای پیش‌ساز عصبی، بیان آنتی ژن خاص این سلولها یعنی نستین که نوعی رشته حدواسط عصبی است ارزیابی شد. مطالعات نشان دادند این آنتی ژن در گروه سومایتها ۱:۴ و ۱:۱ بیان خوبی داشت ولی بیان آنها در گروه کنترل بسیار کم بود (شکل ۱).



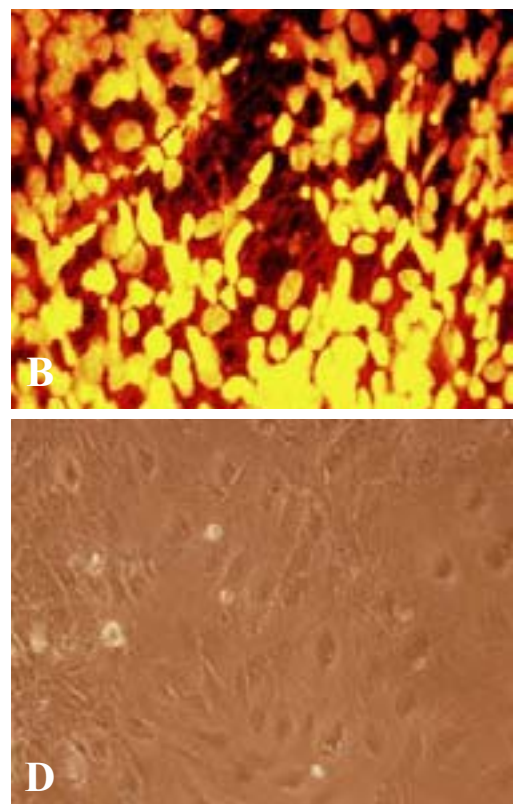
شکل ۱. بیان نشانگر نستین در گروه‌های سومایت و کنترل (A) تصویر میکروسکوپ فاز کنتراست از سلولهای پیش‌ساز عصبی در گروه سومایت (B) بیان نستین در سلولهای پیش‌ساز عصبی گروه سومایت (C) تصویر میکروسکوپ فاز کنتراست از سلولهای بنیادی جنینی در گروه کنترل و (D) بیان بسیار کم نستین در سلولهای گروه کنترل، بار: ۵ میکرومتر

در حالی که این میزان در گروه آلجينیت کمتر ($1/8 \pm 1/8$ درصد) بود ($P > 0.05$) (نمودار ۱). میانگین تعداد EB‌های تمایز یافته به نورون در گروه سومایت ۱:۱ (0.03 ± 0.01 درصد) بیشتر از گروه‌های کنترل و آلجينیت بود ($P < 0.05$). از طرف دیگر به دنبال افزایش نسبت سومایت به EB در گروه سومایت ۱:۴، تعداد بیشتری از EB‌ها به نورون تمایز یافتند

(3.5 ± 0.5 درصد) (نمودار ۱). با این حال، بیشترین درصد EB‌های تمایز یافته به نورون، در گروه RA (8.2 ± 3.7) درصد (نمودار ۱) مشاهده شدند ($P < 0.001$).

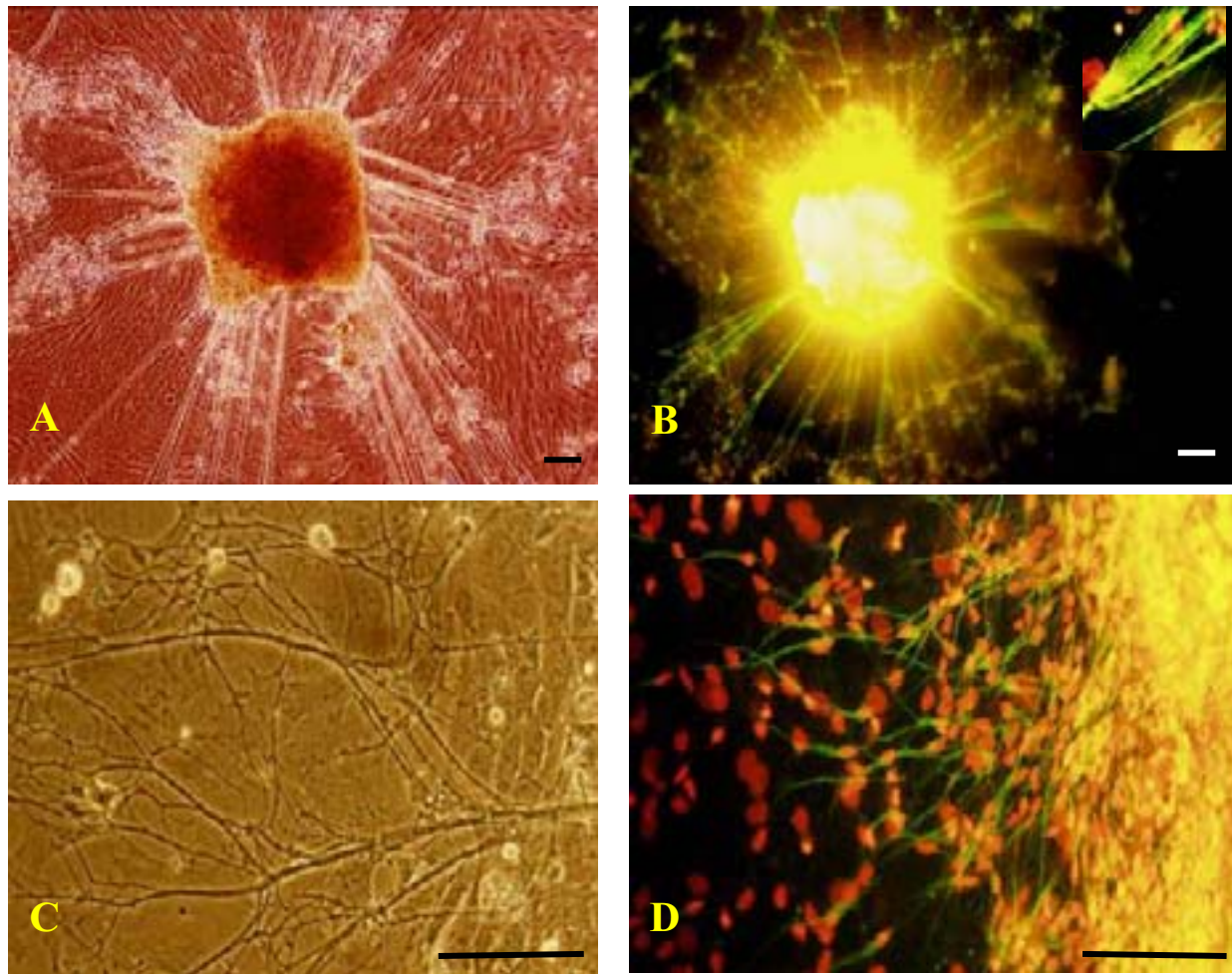
زمان تمایز به نورون

زمان تمایز به نورون در گروه‌های مختلف به دنبال ظهور اولین فنوتیپ نورونی در EB‌ها ثبت شد. تمایز سلولهای بنیادی جنینی به نورون در گروه کنترل بعد از ۱۰ روز



سومایت بیشتر از گروه کنترل بود ولی بیشترین بیان آنها در گروه RA مشاهده شد (شکل ۲).

برای بررسی بیان آنتی ژنهای نورونی نیز از آنتی بادیهای ضد ۲ MAP- و بتا - توبولین III در گروههای کنترل، سومایت و استفاده شد (شکل ۲). بیان این آنتی ژنهای در گروه RA



شکل ۲. نورونهای حاصل از گروههای سومایت و RA، (A) تصویر فاز کتراست از نورونهای حاصل از سلولهای بنیادی جنینی در گروه RA (B) بیان نشانگر بتا - توبولین III در گروه RA. کادر کوچک بالا و سمت راست تصویر زوائد نورونی در این گروه است، (C) تصویر فاز کتراست از نورونهای حاصل از سلولهای بنیادی جنینی در گروه سومایت و (D) بیان نشانگر 2-Map در آن، بار: ۱۰۰ میکرومتر

اجسام شبیه جنینی در هر دو گروه سومایت بود. این ساختارها شبیه لوله عصبی بودند که در وسط جدار اپیتلیالی این ساختارهای لوله ای یک حفره مرکزی به چشم می خورد. این ساختارها در گروههای کنترل و RA مشاهده نشدند (شکل ۳).

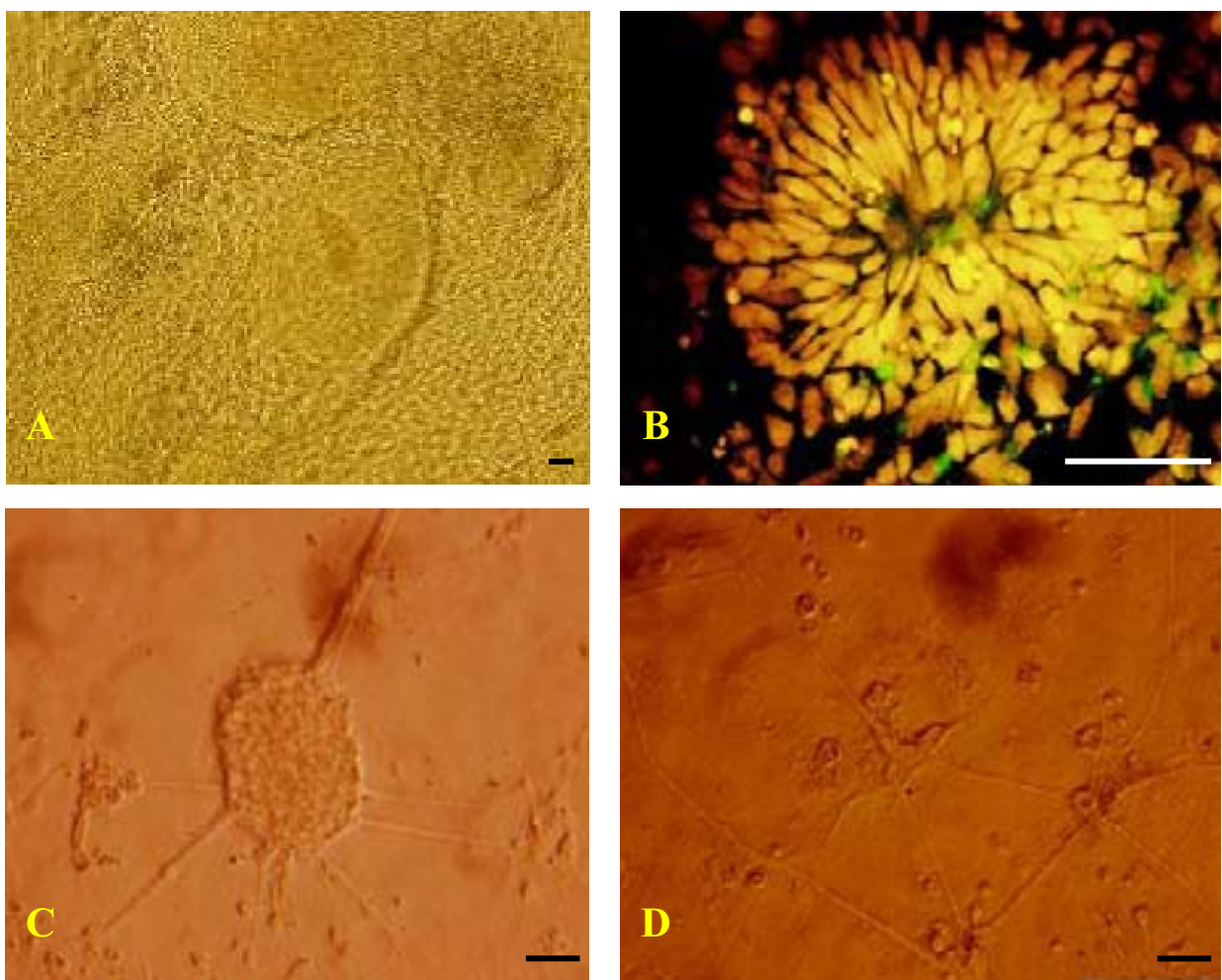
ظهور ساختارهای شبیه به لوله عصبی^۱

نتایج حاصل از این مطالعه بیانگر ظهر ساختارهای رزتی در

1- Rosette structure

برای مقایسه، توده‌های سلولی و سطح EB‌های گروه کترل نیز جدا و کشت داده شد و هیچ گونه نورونی از آنها به دست نیامد.

با جدا سازی رزتها به صورت مکانیکی و آنژیمی از EB‌های گروه سومایت و پس از ۲-۳ روز کشت مجدد در محیط کشت تمایزی، رزتها به نورون تمایز پیدا کردند (شکل D).



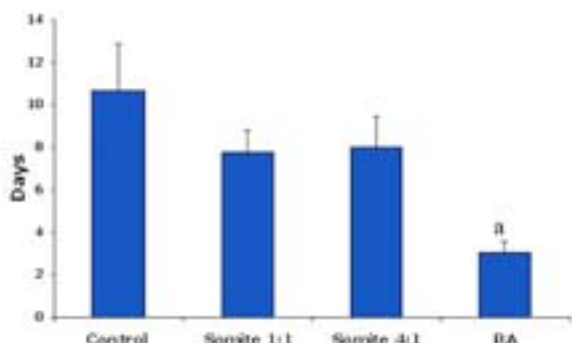
شکل ۳. رزتها حاصل از اجسام شبه جنینی در گروه سومایت و تمایز نورونی در آنها، (A) تصویر میکروسکوپ فازکتراست از ساختارهای رزتی در گروه سومایت. (B) تصویر میکروسکوپ فلوروسانس از رزتها پس از رنگ آمیزی ایمونوستیتوشیمی با آنتی بادی ضد MAP-2. (C) جدا سازی رزتها از اجسام شبه جنینی و کشت مجدد آنها در محیط کشت تمایزی و (D) ظهور نورون به دنبال کشت مجدد رزتها، بار: ۴۰ میکرومتر

سعی می‌شود به کمک عوامل القاگر عصبی ابتدا این سلولها به سلولهای پیش ساز عصبی یا نورون تبدیل شده و سپس به محل ضایعه تزریق شوند [۵]. با این حال ترکیب دقیق عوامل رشدی که باعث ظهور فنوتیپ تمایزی خاصی از جمله نورون از سلولهای بنیادی جنینی می‌شود به طور دقیق شناخته نشده

بحث

سلولهای بنیادی جنینی چنانچه مستقیماً به محل ضایعه عصبی تزریق شوند، ممکن است باعث ایجاد تراتوکارسینوما شوند و چنانچه در محیط آزمایشگاهی خود به خود تمایز یابند تعداد بسیار کمی از آنها به نورون تبدیل می‌شوند؛ به همین دلیل

کیتازاوا (Kitazawa) و همکارش در سال ۲۰۰۵ با استفاده از تاثیر محیط فراهم شده از عقده‌های ریشه پشتی نخاع (DRG) جنینی ۸ روزه جوجه بر کلونی‌های حاصل از سلولهای بنیادی جنینی توانستند سبب القای نورونی در این کلونیها شوند [۱۴]. سوگی (Sugie) و همکارانش نیز به دنبال هم کشتی شبکیه چشم جنین جوجه با سلولهای بنیادی جنینی توانستند سبب تولید فتورسپتورها از این سلولها شوند [۲۲]. این مطالعات همگی این نکته را بیان می‌کنند که ترشحات قابل انتشار حاصل از بافت‌های جنین جوجه می‌توانند با تغییر محیط اطراف سلولهای بنیادی جنینی باعث ظهور فنوتیپ نورونی در این سلولها شوند.

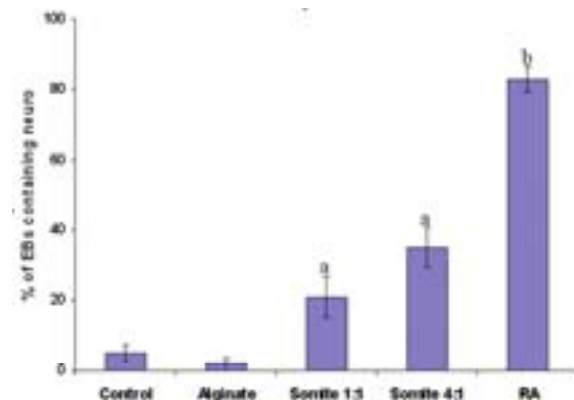


نمودار ۲. مقایسه میانگین زمان ظهور نورون از اجسام شبه جنینی در گروههای مختلف

کنترل: گروه بدون هم کشتی و تیمار، سومایت ۱:۱: گروهی که نسبت تعداد سومایت به تعداد EB به صورت ۱:۱ بود، سومایت ۱:۴: گروهی که نسبت تعداد سومایت به تعداد EB به صورت ۱:۴ بود و RA: گروه تحت تیمار با اسید رتینوئیک، a، اختلاف معنی دار با گروه کنترل و آلجينیت ($p<0.05$) و b، اختلاف معنی دار با گروههای سومایت، کنترل و آلجينیت ($n=4-6$ ($P<0.001$)) ($n=4-6$ ($P<0.001$))

از طرف دیگر سومایتها جنینی با رهایی اسید رتینوئیک و فاکتورهای دیگر باعث تولید نورون از سلولهای پیش ساز عصبی نوروپاتیلیوم می‌شوند [۱۶ و ۱۷]. بررسیها ای صورت گرفته نشان می‌دهند که در جنین دوزیستان سومایتها قدرت القای عصبی را دارند [۱۹]. بنابراین در این مطالعه پتانسیل

است [۱۱]: به همین دلیل سعی می‌شود با استفاده از محیط فراهم شده یا هم کشتی مستقیم بافتها و سلولهای مختلف از جمله آستروروستیها [۱۵] و سلولهای استرومایی [۱۲ و ۱۳] با سلولهای بنیادی باعث تولید نورون از آنها شوند.



نمودار ۱. مقایسه میانگین درصد EB‌های حاوی نورون در گروههای مختلف.

کنترل: گروه بدون هم کشتی و تیمار، سومایت ۱:۱: گروهی که نسبت تعداد سومایت به تعداد EB به صورت ۱:۱ بود، سومایت ۱:۴: گروهی که نسبت تعداد سومایت به تعداد EB به صورت ۱:۴ بود و RA: گروه تحت تیمار با اسید رتینوئیک، a، اختلاف معنی دار با گروه کنترل و آلجينیت ($p<0.05$) و b، اختلاف معنی دار با گروههای سومایت، کنترل و آلجينیت ($n=4-6$ ($P<0.001$)) ($n=4-6$ ($P<0.001$))

سیستمهای هم کشتی روش مناسبی برای ایجاد تعامل بین بافت‌های متفاوت هستند و در این میان بافت‌های جنین جوجه برای ارزیابی پتانسیل تکاملی بافت‌های جنینی موش ابزار مناسبی به نظر می‌رسند [۲۲]. فونتانی پروس (Fontanier-perus) و همکارانش با استفاده از هم کشتی بافت‌های جنینهای جوجه و موش مدل تجربی مناسبی برای بررسی نحوه تکوین سومایتها ارائه کردند [۲۳ و ۲۴]. همچنین پلاتا (Plachta) و همکارانش دریافتند که سلولهای بنیادی جنینی به دنبال هم کشتی با بافت‌های جنین جوجه می‌توانند به نورون تمایز یابند [۲۵].

نشان دادند که این دانه هیچ گونه تاثیری در فرآیند تولید نورون از سلولهای بنیادی در محیط آزمایشگاهی نداشتند و تاثیر سومایت ناشی از حضور خود سومایت بود نه دانه‌های آجینیت.

بررسیهای صورت گرفته نشان می‌دهد که RA در غلظتهاي بالا می‌تواند سبب القای نورونی در سلولهای بنیادی جنینی شود [۲۱]. در مطالعه حاضر نیز گروه RA به عنوان گروه کنترل مشیت یارای ارزیابی پتانسیل القای نورونی سلولهای بنیادی جنینی در نظر گرفته شد و نتایج به دست آمده نشان داد که درصد فراوانی از EBها ($82/8 \pm 3/7$ درصد) توانستند به نورون تمایز یابند. دلیل این امر آن است که RA در غلظت بالا (۱۰ مولار) به عنوان یک فاکتور مورفوژنبک تاثیر مستقیمی بر EBها داشت و توانست تمایز عصبی را در آنها القا نماید در صورتی که در گروه سومایت، EBها از ترشحات حاصل از هم کشته با سومایت برای تمایز به نورون بهره گرفتند و از آنجایی که ترشحات حاصل از سومایت (مانند رتینوئیدها) بسیار کم و در حد نانومولار است [۲۷]؛ بنابراین در گروه سومایت ۱:۱ درصد کمتری از EBها به نورون تمایز یافتند ($P < 0.001$). بنابراین از تعداد بیشتری سومایت برای القای نورونی EBها استفاده شد. نتاج به دست آمده نشان داد که با افزایش نسبت سومایت به EB از ۱:۱ به ۱:۴، تاثیر القایی سومایتها بر میانگین درصد EBهای حاوی نورون افزایش یافته و تعداد بیشتری از EBها به نورون تمایز پیدا کردند (۵/۶ درصد) (نمودار ۱) ولی باز هم نسبت به گروه RA درصد کمتری از EBها به نورون تمایز یافتند ($P < 0.001$).

مقایسه زمان تمایز سلولهای بنیادی جنینی به نورون نیز نشان داد که در گروه کنترل از روز دهم به بعد فتوتیپ نورونی ظاهر شدند و این نتیجه با مطالعه راجن (Rathjen) و لک (Lake) [۲۸ و ۲۹] همخوانی داشت. در گروه سومایت، زمان ظهور نورون در دو گروه سومایت ۱:۴ و ۱:۱ فرق

القای نورونی سومایتهاي جنین جوجه به دنبال هم کشته با سلولهای بنیادی جنینی بررسی شد تا مشخص شود که آیا سومایتها علاوه بر تمایز نورونی سلولهای پیش ساز عصبی در محیط بدن آیا می‌توانند باعث القای تولید نورون از سلولهای بنیادی جنینی در محیط آزمایشگاهی شوند. از آنجایی که سومایتها تمایل زیادی برای اتصال به EB در محیط کشت دارند بنابراین برای جلوگیری از این ادغام، سومایتها در داخل محلول آجینیت قرار داده شدند. نتایج به دست آمده بیانگر القای نورونی سلولهای بنیادی جنینی تحت تاثیر سومایت است (نمودار ۱). این یافته‌ها با نتایج حاصل از تاثیر محیط فراهم شده از سومایت، مغز خلفی^۱ و کیست شنوایی^۲ بر سلولهای بنیادی مغز استخوان موش نیز مطابقت دارد [۲۶]. در مطالعه مذکور سلولهای بنیادی مغز استخوان توانستند تحت تاثیر ترشحات حاصل از بافت‌های جنینی فوق الذکر فتوتیپ نورونی را از خود نشان دهند، اگرچه تاثیر سومایت به تنها یی نشان داده نشد. در حالی که در مطالعه حاضر تاثیر سومایت به تنها یی مورد بررسی قرار گرفت. از طرف دیگر در مطالعه سوگی (Sugie) بافت‌های شبکیه چشم جنین جوجه پس از القای نورونی EBها به کمک RA و روش انتخاب دودمان و به دست آوردن سلولهای پیش ساز عصبی با این سلولها هم کشته داده شدند [۲۲] در صورتی که در مطالعه حاضر هیچ گونه القای نورونی قبل از هم کشته سومایت با EB صورت نگرفت و تنها تاثیر ترشحات سومایت بود که توانست سبب تولید نورون از EBها شود.

از آنجا که سومایتها برای تولید دانه‌های آجینیت حاوی سومایت در داخل محلول آجینیت قرار داده شدند، به منظور بررسی تاثیر این دانه‌ها بر فرآیند نوروزنر یک گروه از EBها تحت تاثیر این دانه‌ها قرار داده شدند و نتایج به دست آمده

1. Hindbrain
2. Otocyst

های گروه سومایت ظاهر شدند و تا روز دهم سلولهای EB منشوری حول یک حفره مرکزی تجمع یافته بودند. نتایج حاصل از این مطالعه نشان می‌دهد اگرچه نسبت به گروه RA تعداد کمتری از EB‌ها به دنبال هم کشته با سومایت به نورون تمایز یافتد، اما مشخص شد در محیط آزمایشگاهی سومایتها جنین جوجه پتانسیل القای نورونی را دارند و قادرند به عنوان یک کانون سیگنال دهنده عصبی باعث تولید نورون از سلولهای بنیادی جنینی موش شوند. از طرف دیگر، سومایتها می‌توانند سبب ظهر ساختارهای رزتی در سلولهای بنیادی جنینی موش همانند آنچه که در سلولهای بنیادی جنینی انسانی دیده می‌شود گردند. اینکه سومایتها با چه مکانیزمی سبب بروز چنین تغییراتی در سلولهای بنیادی جنینی می‌شوند موضوعی است که امیدواریم در آینده به آن اشاره شود.

تقدیر و تشکر

این مطالعه با استفاده از منابع مالی پژوهشکده رویان انجام شده است و نویسنده‌گان مقاله بدین وسیله مراتب تقدیر و تشکر خود را از پژوهشکده رویان به عمل می‌آورند.

References

- Evans MJ, Kaufman M. Establishment in culture of pluripotential cells from mouse embryos. *Nature* 1981; 292: 154-6.
- Martin GR. Isolation of a pluripotent cell line from early mouse embryos cultured in medium conditioned by teratocarcinoma stem cells. *Proc Natl Acad Sci USA* 1981; 78: 7634-8.
- Sato M, Nakano T. Embryonic Stem Cell. *Int Med* 2001; 40 (3):195-200.
- Desbaillets I , Ziegler U, Grosskurth P, Gassmann M. Embryoid bodies: an in vitro model of mouse embryogenesis. *Exp Physiol* 2000; 85(6): 645-51.
- Wei Du Z, Zhang SC. Neural Differentiation from Embryonic Stem Cells: Which Way? *Stem Cells Dev* 2004; 13: 372-81.
- Bain, G, Kitchens D, Yao M, Huettner JE, Gottlieb DI. Embryonic stem cells express neuronal properties in vitro. *Dev Biol* 1995; 168: 342-57.
- Guan K, Chang H, Rolletschek A, Wobus AM. Embryonic stem cell-derived neurogenesis: Retinoic acid induction and lineage selection of neuronal cells, *Cell Tissue Res* 2001; 305: 171-6.
- Tropepe V, Hitoshi S, Sirard C, Mak TW, Rossant J, Van der Kooy D. Direct neural fate

چندانی نداشت، اما سریعتر از این زمان در گروه کترل بود هشت روز پس از گسترش EB‌ها). با این حال هیچ تفاوت معنی داری بین زمان ظهور نورون در گروههای سومایت با گروه کترل مشاهده نشد (نمودار ۲). در گروه RA سلولهای بنیادی جنینی سریعتر از سایر گروهها و ظرف مدت ۳ روز توانستند به نورون تمایز یابند ($P < 0.01$) که این نتیجه مشابه با نتایج حاصل از مطالعه با یین (Bain) و همکارانش بود [۶]. یکی از ویژگیهای EB‌هایی که با سومایتها هم کشته داده شدند ظهور ساختارهای رزت مانند در EB‌ها بود. این ساختارها "معمول" در سلولهای بنیادی جنینی انسانی دیده می‌شوند و به عنوان اولین نشانه تمایز عصبی در نظر گرفته می‌شوند. سلولهای موجود در رزت شبیه سلولهای منشوری هستند [۳۰]. همین ساختارها در EB‌های گروههای سومایت مشاهده شدند و توانستند پس از جدا شدن از EB و کشت مجدد، به نورون تمایز یابند. لی و همکارانش ظهور رزتهای سلولهای بنیادی جنینی انسانی را طی ۸ تا ۱۰ روز بعد از گسترش گزارش کردند که طی ۵-۶ روز بعد سلولهای منشوری رزتی حول یک حفره مرکزی تجمع می‌یابند [۳۰]. در مطالعه حاضر نیز رزتها از روز هفتم گسترش به بعد در

- specification from embryonic stem cells: a primitive mammalian neural stem cell stage acquired through a default mechanism. *Neuron* 2001; 30: 65–78.
9. Irioka T, Watanabe K, Mizusawa H, Mizuseki K, Sasai Y. Distinct effects of caudalizing factors on regional specification of embryonic stem cell – derived neural precursors. *Dev Brain Res* 2005; 154: 63-70.
 10. Murashov AK, Pak ES, Hendricks WA, wensby JP, Sierpinski PL, Tatko LM, et al. Directed differentiation of embryonic stem cells into dorsal Interneurons, *The FASEB J* 2005; 19(2): 252-4
 11. O'Shea K. S., Self-renewal vs. Differentiation of Mouse Embryonic Stem Cells, *Biol. Rep.*, 2004, 71:1755–1765.
 12. Kawasaki H, Mizuseki K, Nishikawa S, Kaneko S, Kuwana Y, Nakanishi S, Nishikawa SI, Sasai Y. Induction of midbrain dopaminergic neurons from ES cells by stromal cell-derived inducing activity. *Neuron* , . 2000, 28:31–40.
 13. Kawasaki H, Suemori H, Mizuseki K, Watanabe K, Urano F, Ichinose H, Haruta M., Takahashi M., Yoshikawa K., Nishikawa S, Nakatsuji N., Sasai Y., Generation of dopaminergic neurons and pigmented epithelia from primate ES cells by stromal cell-derived inducing activity, *Proc. Natl. Acad. Sci. USA*, 2002, 99:1580-1585.
 14. Kitazawa A., Shimizu N., Differentiation of mouse embryonic stem cells into neurons using conditioned medium of dorsal root ganglia, *J. Biosci. Bioeng.*, 2005, 100(1):94-99.
 15. Nakayama T., Momoki-Soga T., Inoue N., Astrocyte-derived factors instruct differentiation of embryonic stem cells into neurons, *Neurosci. Res.*, 2003, 46:241-249.
 16. Corral R. D. D. , Martinez I.O., Gorely A., Gale E., Maden M., Storey K. Opposing FGF and retinoid pathways control ventral neural pattern and neuronal differentiation, and segmentation during body axis extension, *Neuron*, 2003, 40:65-79
 17. Corral R. D. D., Storey K. G., Opposing FGF and retinoid pathways: a signaling switch that controls differentiation and patterning onset in the extending vertebrate body axis, *BioEssays*, 2004, 26:857–869.
 18. Liu J. P. , Laufer E. and Jessell T. M. , Assigning the positional identity of spinal cord motor neurons: rostrocaudal patterning of Hox-c expression by FGFs , Gdf11 and retinoids, *Neuron* 2001, 32:997-1012.
 19. Harland R., Neural induction, *Curr. Opin. Gen. & Dev.*, 2000, 10:357—362
 20. Hamburger V., Hamilton HL., A series of normal stages in the development of the chick embryo. *J. Morphol.*, 1951, 88:49-92.
 21. Okada Y. , Shimazaki T. , Sobue G. , Okano H., Retinoic-acid-concentration-dependent acquisition of neural cell identity during in vitro differentiation of mouse embryonic stem cells, *Dev. Biol.* , 2004, 275 , 124– 142.
 22. Sugie Y., Yoshikawa M., Ouji Y., Saito K., Moriya K., shizaka S., Matsuura T., Maruoka S., Nawa Y., Hara Y., Photoreceptor cells from mouse ES cells by co-culture with chick embryonic retina, *Biochem. Biophys. Res. Comm.* 2005, 332:241–247.
 23. Fontaine-Perus J., Jarno V., Fournier le Ray C., Li Z., Paulin D., Mouse chick chimera: a new model to study the in ovo developmental potentialities of mammalian somites, *Dev.* 1995, 121:1705–1718.
 24. Fontaine-Perus J., Mouse-chick chimera: an experimental systemfor study of somite development, *Curr. Top. Dev. Biol.* 2000, 48:269– 300.
 25. Plachta N., Bibel M., Tucker K.L., Barde Y.A., Developmental potential of defined neural progenitors derived from mouse embryonic stem cells, *Dev.* 2004, 131:5449–5456.
 26. Kondo T., Johnson S.A., Yoder M.C.,

- Romand R, Hashino E.,** Sonic hedgehog and retinoic acid synergistically promote sensory fate specification from bone marrow-derived pluripotent stem cells PNAS 2005, 102(13):4789-4794.
27. **Maden M., Sonneveld E., van der Saag P.T., Gale E.,** The distribution of endogenous retinoic acid in the chick embryo: implications for developmental mechanisms. Dev., 1998, 125:4133-4144
28. **Lake J.A., Rathjen J., Remiszewski J., Rathjen P.D.,** Reversible programming of pluripotent cell differentiation, J. Cell Sci. 2000, 113, 555-566.
29. **Rathjen J., Haines B.P., Hudson K.M., Nesci A., Dunn S., Rathjen P.D.,** Directed differentiation of pluripotent cells to neural lineages: homogeneous formation and differentiation of a neurectoderm population, Dev. 2002, 129, 2649-2661.
30. **Li X.J., Wei Du Z., Zarnowska E.D., Pankratz M., Hanen L.O., Pearce R.A., Zhang S.C.,** Specification of motoneurons from human embryonic stem cells, Nat. Biotech., 2005, 1-7.